

# Techniken zur schnelleren Berechnung von Gomory-Hu-Bäumen

Diplomarbeitsverteidigung

Sascha Grau  
Matr-Nr. 33690

10. Oktober 2007

# Inhalt

- 1 Problem & Definition
- 2 Der Algorithmus von Gomory & Hu
- 3 Neue Ansätze
  - Einsatz Maximaler Adjazenzordnungen
  - Flusskomponentenzerlegung
- 4 Ergebnisse & Zusammenfassung

# Inhalt

- 1 Problem & Definition
- 2 Der Algorithmus von Gomory & Hu
- 3 Neue Ansätze
  - Einsatz Maximaler Adjazenzordnungen
  - Flusskomponentenzerlegung
- 4 Ergebnisse & Zusammenfassung

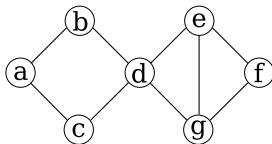
# Problemstellung

## Definition (ALL-PAIRS-MINIMUM-CUT)

Ist  $G = (V, E)$  ein ungerichteter Graph mit Kantengewichtsfunktion  $w_G : E \rightarrow \mathbb{R}^+$ , berechne für jedes Knotenpaar  $u, v \in V$  den Wert  $\lambda_{u,v}$  und Verlauf eines minimalen  $u$ - $v$ -Schnitts in  $G$ .

Es gibt  $\binom{n}{2}$  solcher Knotenpaare.

Wie lässt sich ein solches Ergebnis optimal repräsentieren?



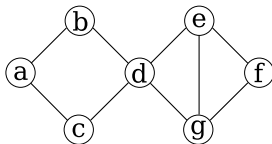
# Problemstellung

## Definition (ALL-PAIRS-MINIMUM-CUT)

Ist  $G = (V, E)$  ein ungerichteter Graph mit Kantengewichtsfunktion  $w_G : E \rightarrow \mathbb{R}^+$ , berechne für jedes Knotenpaar  $u, v \in V$  den Wert  $\lambda_{u,v}$  und Verlauf eines minimalen  $u$ - $v$ -Schnitts in  $G$ .

Es gibt  $\binom{n}{2}$  solcher Knotenpaare.

Wie lässt sich ein solches Ergebnis optimal repräsentieren?



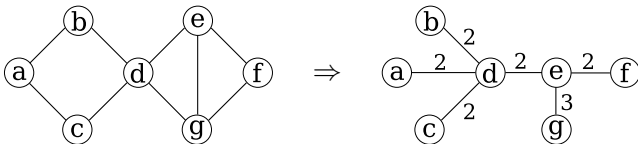
# Problemstellung

## Definition (ALL-PAIRS-MINIMUM-CUT)

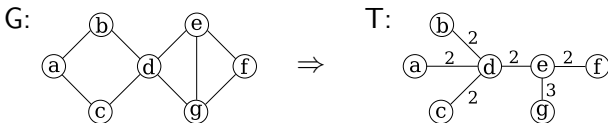
Ist  $G = (V, E)$  ein ungerichteter Graph mit Kantengewichtsfunktion  $w_G : E \rightarrow \mathbb{R}^+$ , berechne für jedes Knotenpaar  $u, v \in V$  den Wert  $\lambda_{u,v}$  und Verlauf eines minimalen  $u$ - $v$ -Schnitts in  $G$ .

Es gibt  $\binom{n}{2}$  solcher Knotenpaare.

Wie lässt sich ein solches Ergebnis optimal repräsentieren?



# Der Gomory-Hu-Baum



## Definition (Gomory-Hu-Baum)

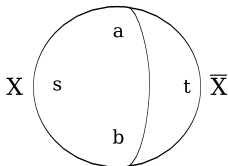
Der Baum  $T = (\mathbf{V}, A)$  mit Kantengewichtsfunktion  $w_T : A \rightarrow \mathbb{R}^+$  ist genau dann ein *Gomory-Hu-Baum* für  $G = (\mathbf{V}, E)$ , falls gilt:

- 1 Die minimal gewichtete Kante auf jedem Pfad zwischen zwei Knoten  $u, v \in V$  in  $T$ , ist mit dem minimalen  $u$ - $v$ -Schnittwert in  $G$  gewertet.
- 2  $\forall a \in A$ : Sind  $T_1$  und  $T_2$  die Knotenmengen der durch Löschung von  $a$  aus  $T$  entstehenden Teilbäume, so gilt  $w_T(a) := c_G(T_1)$ .

# Warum lassen sich die Schnitte in Baumform repräsentieren?

## Lemma (Kreuzungsfreiheit - Gomory und Hu, 1961)

Seien  $X$  und  $\bar{X}$  die beiden Schnittmengen eines minimalen  $s$ - $t$ -Schnittes mit  $s \in X$  und  $t \in \bar{X}$ . Existieren weiterhin zwei Knoten  $a, b \in X$ , so gibt es mindestens einen minimalen  $a$ - $b$ -Schnitt  $\{Y, \bar{Y}\}$ , so dass  $\bar{X} \subseteq Y$  oder  $\bar{X} \subseteq \bar{Y}$  gilt.

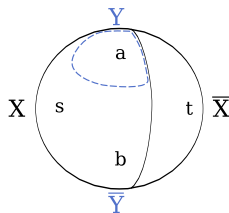
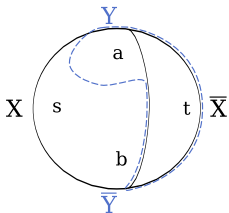




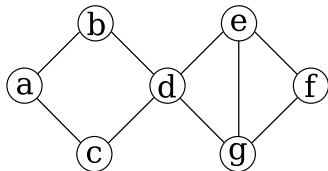
# Warum lassen sich die Schnitte in Baumform repräsentieren?

## Lemma (Kreuzungsfreiheit - Gomory und Hu, 1961)

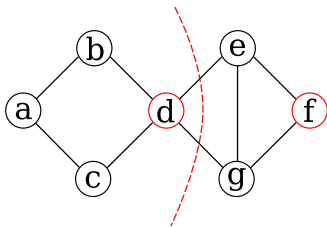
Seien  $X$  und  $\bar{X}$  die beiden Schnittmengen eines minimalen  $s$ - $t$ -Schnittes mit  $s \in X$  und  $t \in \bar{X}$ . Existieren weiterhin zwei Knoten  $a, b \in X$ , so gibt es mindestens einen minimalen  $a$ - $b$ -Schnitt  $\{Y, \bar{Y}\}$ , so dass  $\bar{X} \subseteq Y$  oder  $\bar{X} \subseteq \bar{Y}$  gilt.



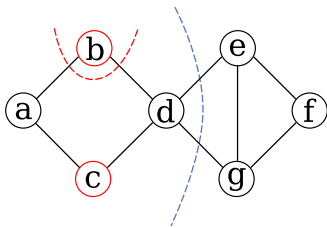
# Kreuzungsfreiheit Minimaler Schnitte



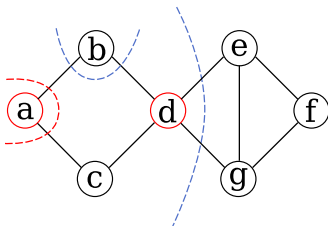
# Kreuzungsfreiheit Minimaler Schnitte



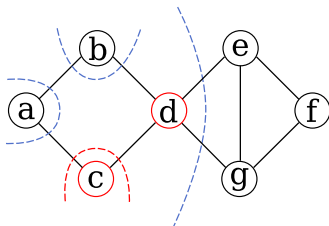
# Kreuzungsfreiheit Minimaler Schnitte



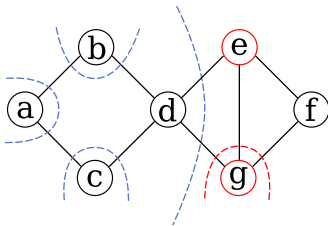
# Kreuzungsfreiheit Minimaler Schnitte



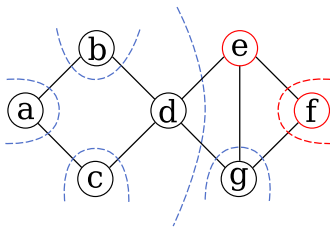
# Kreuzungsfreiheit Minimaler Schnitte



# Kreuzungsfreiheit Minimaler Schnitte

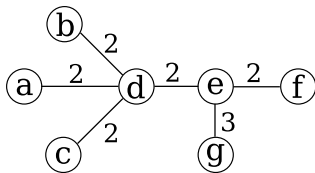
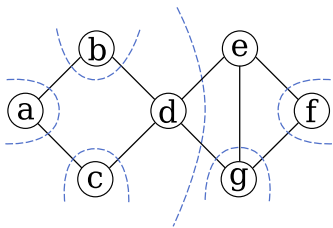


# Kreuzungsfreiheit Minimaler Schnitte





# Kreuzungsfreiheit Minimaler Schnitte



Gomory-Hu-Baum

# Inhalt

- 1 Problem & Definition
- 2 Der Algorithmus von Gomory & Hu
- 3 Neue Ansätze
  - Einsatz Maximaler Adjazenzordnungen
  - Flusskomponentenzerlegung
- 4 Ergebnisse & Zusammenfassung

# Der Algorithmus von Gomory & Hu

## Ziel

Finde kreuzungsfreie Auswahl minimaler Schnitte zwischen unterschiedlichen Knotenpaaren, so dass jedes Paar aus  $V$  getrennt wird.

## Datenstruktur: Der Baum $T$

Reell gewichteter Baum  $T$  von *Superknoten*.

- Jeder Superknoten steht für Teilmenge von  $V$
- $T$  modelliert Partitionierung von  $V$  durch bisherige Schnitte
- Kanten tragen Schnittgewichte aus  $G$

Initialisierung:  $T = (\{V\}, \emptyset)$

# Der Algorithmus von Gomory & Hu

## Ziel (verfeinert)

Solange bisher ungetrenntes Knotenpaar  $(s, t)$  existiert, finde minimalen  $s$ - $t$ -Schnitt kreuzungsfrei zu allen bisherigen Schnitten.

## Datenstruktur: Der Baum $T$

Reell gewichteter Baum  $T$  von *Superknoten*.

- Jeder Superknoten steht für Teilmenge von  $V$
- $T$  modelliert Partitionierung von  $V$  durch bisherige Schnitte
- Kanten tragen Schnittgewichte aus  $G$

Initialisierung:  $T = (\{V\}, \emptyset)$

# Der Algorithmus von Gomory & Hu

## Ziel (verfeinert)

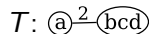
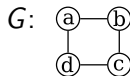
Solange bisher ungetrenntes Knotenpaar  $(s, t)$  existiert, finde minimalen  $s$ - $t$ -Schnitt kreuzungsfrei zu allen bisherigen Schnitten.

## Datenstruktur: Der Baum $T$

Reell gewichteter Baum  $T$  von *Superknoten*.

- Jeder Superknoten steht für Teilmenge von  $V$
- $T$  modelliert Partitionierung von  $V$  durch bisherige Schnitte
- Kanten tragen Schnittgewichte aus  $G$

Initialisierung:  $T = (\{V\}, \emptyset)$



# Der Algorithmus von Gomory & Hu

## Ziel (verfeinert)

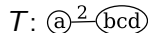
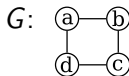
Solange bisher ungetrenntes Knotenpaar  $(s, t)$  existiert, finde minimalen  $s$ - $t$ -Schnitt kreuzungsfrei zu allen bisherigen Schnitten.

## Datenstruktur: Der Baum $T$

Reell gewichteter Baum  $T$  von *Superknoten*.

- Jeder Superknoten steht für Teilmenge von  $V$
- $T$  modelliert Partitionierung von  $V$  durch bisherige Schnitte
- Kanten tragen Schnittgewichte aus  $G$

Initialisierung:  $T = (\{V\}, \emptyset)$



Ist mit  $\{X, \bar{X}\}$  ein minimaler  $s$ - $t$ -Schnitt mit  $a, b \in X$  bekannt.  
Wie kann ein zu  $\bar{X}$  kreuzungsfreier minimaler  $a$ - $b$ -Schnitt  
berechnet werden?

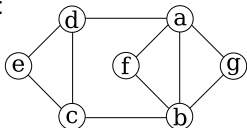
Ist mit  $\{X, \bar{X}\}$  ein minimaler  $s$ - $t$ -Schnitt mit  $a, b \in X$  bekannt.  
Wie kann ein zu  $\bar{X}$  kreuzungsfreier minimaler  $a$ - $b$ -Schnitt berechnet werden?

### Kontraktionsgraphen zur Verhinderung von Schnittkreuzungen

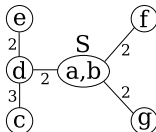
Erstellung einer kontrahierten Version des Graphen  $G$  für Superknoten  $S$  mit  $a, b \in S$ :

- 1 Definiere  $S$  als Baumwurzel von  $T$ .
- 2 Für jeden von  $S$  abgehenden Teilbaum  $B$ :
  - 1 Verschmelze die Knotenmengen aller Superknoten in  $B$ .
  - 2 Kontrahiere die entstandene Knotenmenge in  $G$ .
- 3 Berechne minimalen  $a$ - $b$ -Schnitt im Kontraktionsgraphen

G:



T:





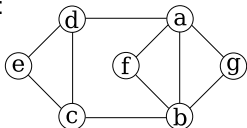
Ist mit  $\{X, \bar{X}\}$  ein minimaler  $s$ - $t$ -Schnitt mit  $a, b \in X$  bekannt.  
Wie kann ein zu  $\bar{X}$  kreuzungsfreier minimaler  $a$ - $b$ -Schnitt berechnet werden?

### Kontraktionsgraphen zur Verhinderung von Schnittkreuzungen

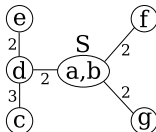
Erstellung einer kontrahierten Version des Graphen  $G$  für Superknoten  $S$  mit  $a, b \in S$ :

- 1 Definiere  $S$  als Baumwurzel von  $T$ .
- 2 Für jeden von  $S$  abgehenden Teilbaum  $B$ :
  - 1 Verschmelze die Knotenmengen aller Superknoten in  $B$ .
  - 2 Kontrahiere die entstandene Knotenmenge in  $G$ .
- 3 Berechne minimalen  $a$ - $b$ -Schnitt im Kontraktionsgraphen

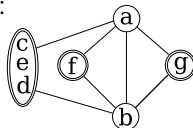
G:



T:



G':



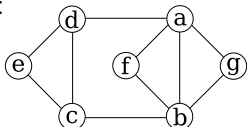
Ist mit  $\{X, \bar{X}\}$  ein minimaler  $s$ - $t$ -Schnitt mit  $a, b \in X$  bekannt.  
Wie kann ein zu  $\bar{X}$  kreuzungsfreier minimaler  $a$ - $b$ -Schnitt berechnet werden?

### Kontraktionsgraphen zur Verhinderung von Schnittkreuzungen

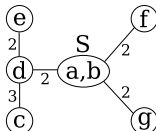
Erstellung einer kontrahierten Version des Graphen  $G$  für Superknoten  $S$  mit  $a, b \in S$ :

- 1 Definiere  $S$  als Baumwurzel von  $T$ .
- 2 Für jeden von  $S$  abgehenden Teilbaum  $B$ :
  - 1 Verschmelze die Knotenmengen aller Superknoten in  $B$ .
  - 2 Kontrahiere die entstandene Knotenmenge in  $G$ .
- 3 Berechne minimalen  $a$ - $b$ -Schnitt im Kontraktionsgraphen

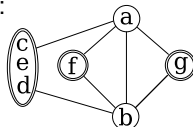
$G$ :



$T$ :



$G'$ :



## Der Algorithmus von Gomory & Hu

$T \leftarrow (\{V\}, \emptyset);$

**while**  $\exists$  Superknoten  $S$  in  $T$  mit  $|S| > 1$  **do**

    Erstelle Kontraktionsgraph  $G'$  für  $S$ ;

$\{X, \bar{X}\} \leftarrow$  Minimaler  $s$ - $t$ -Schnitt in  $G'$  mit  $s, t \in S$ ;

$S_1 \leftarrow \{v \in S \mid v \in X\}$ ;

$S_2 \leftarrow \{v \in S \mid v \in \bar{X}\}$ ;

    Nimm  $S_1, S_2$  in  $T$  auf;

    Verbinde  $S_1, S_2$  mit  $T$ -Kante des Werts  $\lambda_{s,t}$ ;

**foreach** Teilbaum  $T_i$  ausgehend von  $S$  **do**

**if** Kontraktionsknoten zu  $T_i$  in  $X$  **then**

            └ Hänge  $T_i$  an  $S_1$ ;

**else** Hänge  $T_i$  an  $S_2$ ;

    └ Lösche  $S$  aus  $T$ ;

**return**  $(T)$ ;

## Der Algorithmus von Gomory &amp; Hu

 $T \leftarrow (\{V\}, \emptyset);$ **while**  $\exists$  *Superknoten*  $S$  in  $T$  mit  $|S| > 1$  **do**    Erstelle Kontraktionsgraph  $G'$  für  $S$ ;     $\{X, \bar{X}\} \leftarrow$  Minimaler  $s$ - $t$ -Schnitt in  $G'$  mit  $s, t \in S$ ;     $S_1 \leftarrow \{v \in S \mid v \in X\}$ ;     $S_2 \leftarrow \{v \in S \mid v \in \bar{X}\}$ ;    Nimm  $S_1, S_2$  in  $T$  auf;    Verbinde  $S_1, S_2$  mit  $T$ -Kante des Werts  $\lambda_{s,t}$ ;    **foreach** *Teilbaum*  $T_i$  ausgehend von  $S$  **do**        **if** *Kontraktionsknoten* zu  $T_i$  in  $X$  **then**            └ Hänge  $T_i$  an  $S_1$ ;        **else** Hänge  $T_i$  an  $S_2$ ;    └ Lösche  $S$  aus  $T$ ;**return**  $(T)$ ;

## Der Algorithmus von Gomory &amp; Hu

 $T \leftarrow (\{V\}, \emptyset);$ **while**  $\exists$  Superknoten  $S$  in  $T$  mit  $|S| > 1$  **do**    Erstelle Kontraktionsgraph  $G'$  für  $S$ ;     $\{X, \bar{X}\} \leftarrow$  Minimaler  $s$ - $t$ -Schnitt in  $G'$  mit  $s, t \in S$ ;     $S_1 \leftarrow \{v \in S \mid v \in X\}$ ;     $S_2 \leftarrow \{v \in S \mid v \in \bar{X}\}$ ;    Nimm  $S_1, S_2$  in  $T$  auf;    Verbinde  $S_1, S_2$  mit  $T$ -Kante des Werts  $\lambda_{s,t}$ ;    **foreach** Teilbaum  $T_i$  ausgehend von  $S$  **do**        **if** Kontraktionsknoten zu  $T_i$  in  $X$  **then**            └ Hänge  $T_i$  an  $S_1$ ;        **else** Hänge  $T_i$  an  $S_2$ ;    └ Lösche  $S$  aus  $T$ ;**return**  $(T)$ ;

## Der Algorithmus von Gomory &amp; Hu

 $T \leftarrow (\{V\}, \emptyset);$ **while**  $\exists$  Superknoten  $S$  in  $T$  mit  $|S| > 1$  **do**    Erstelle Kontraktionsgraph  $G'$  für  $S$ ;     $\{X, \bar{X}\} \leftarrow$  Minimaler  $s$ - $t$ -Schnitt in  $G'$  mit  $s, t \in S$ ;     $S_1 \leftarrow \{v \in S \mid v \in X\}$ ;     $S_2 \leftarrow \{v \in S \mid v \in \bar{X}\}$ ;    Nimm  $S_1, S_2$  in  $T$  auf;    Verbinde  $S_1, S_2$  mit  $T$ -Kante des Werts  $\lambda_{s,t}$ ;    **foreach** Teilbaum  $T_i$  ausgehend von  $S$  **do**        **if** Kontraktionsknoten zu  $T_i$  in  $X$  **then**            └ Hänge  $T_i$  an  $S_1$ ;        **else** Hänge  $T_i$  an  $S_2$ ;    └ Lösche  $S$  aus  $T$ ;**return**  $(T)$ ;

## Der Algorithmus von Gomory &amp; Hu

 $T \leftarrow (\{V\}, \emptyset);$ **while**  $\exists$  Superknoten  $S$  in  $T$  mit  $|S| > 1$  **do**    Erstelle Kontraktionsgraph  $G'$  für  $S$ ;     $\{X, \bar{X}\} \leftarrow$  Minimaler  $s$ - $t$ -Schnitt in  $G'$  mit  $s, t \in S$ ;     $S_1 \leftarrow \{v \in S \mid v \in X\}$ ;     $S_2 \leftarrow \{v \in S \mid v \in \bar{X}\}$ ;    Nimm  $S_1, S_2$  in  $T$  auf;    Verbinde  $S_1, S_2$  mit  $T$ -Kante des Werts  $\lambda_{s,t}$ ;    **foreach** Teilbaum  $T_i$  ausgehend von  $S$  **do**        **if** Kontraktionsknoten zu  $T_i$  in  $X$  **then**            └ Hänge  $T_i$  an  $S_1$ ;        **else** Hänge  $T_i$  an  $S_2$ ;    └ Lösche  $S$  aus  $T$ ;**return**  $(T)$ ;

## Der Algorithmus von Gomory &amp; Hu

 $T \leftarrow (\{V\}, \emptyset);$ **while**  $\exists$  Superknoten  $S$  in  $T$  mit  $|S| > 1$  **do**    Erstelle Kontraktionsgraph  $G'$  für  $S$ ;     $\{X, \bar{X}\} \leftarrow$  Minimaler  $s$ - $t$ -Schnitt in  $G'$  mit  $s, t \in S$ ;     $S_1 \leftarrow \{v \in S \mid v \in X\}$ ;     $S_2 \leftarrow \{v \in S \mid v \in \bar{X}\}$ ;    Nimm  $S_1, S_2$  in  $T$  auf;    Verbinde  $S_1, S_2$  mit  $T$ -Kante des Werts  $\lambda_{s,t}$ ;    **foreach** Teilbaum  $T_i$  ausgehend von  $S$  **do**        **if** Kontraktionsknoten zu  $T_i$  in  $X$  **then**            └ Hänge  $T_i$  an  $S_1$ ;        **else** Hänge  $T_i$  an  $S_2$ ;    └ Lösche  $S$  aus  $T$ ;return  $(T)$ ;



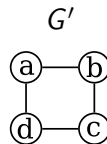
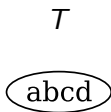
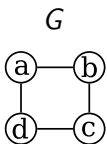
## Der Algorithmus von Gomory &amp; Hu

 $T \leftarrow (\{V\}, \emptyset);$ **while**  $\exists$  Superknoten  $S$  in  $T$  mit  $|S| > 1$  **do**    Erstelle Kontraktionsgraph  $G'$  für  $S$ ;     $\{X, \bar{X}\} \leftarrow$  Minimaler  $s$ - $t$ -Schnitt in  $G'$  mit  $s, t \in S$ ;     $S_1 \leftarrow \{v \in S \mid v \in X\}$ ;     $S_2 \leftarrow \{v \in S \mid v \in \bar{X}\}$ ;    Nimm  $S_1, S_2$  in  $T$  auf;    Verbinde  $S_1, S_2$  mit  $T$ -Kante des Werts  $\lambda_{s,t}$ ;    **foreach** Teilbaum  $T_i$  ausgehend von  $S$  **do**        **if** Kontraktionsknoten zu  $T_i$  in  $X$  **then**            └ Hänge  $T_i$  an  $S_1$ ;        **else** Hänge  $T_i$  an  $S_2$ ;    └ Lösche  $S$  aus  $T$ ;return  $(T)$ ;

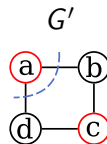
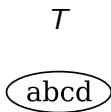
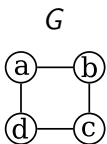
## Der Algorithmus von Gomory &amp; Hu

 $T \leftarrow (\{V\}, \emptyset);$ **while**  $\exists$  Superknoten  $S$  in  $T$  mit  $|S| > 1$  **do**    Erstelle Kontraktionsgraph  $G'$  für  $S$ ;     $\{X, \bar{X}\} \leftarrow$  Minimaler  $s$ - $t$ -Schnitt in  $G'$  mit  $s, t \in S$ ;     $S_1 \leftarrow \{v \in S \mid v \in X\}$ ;     $S_2 \leftarrow \{v \in S \mid v \in \bar{X}\}$ ;    Nimm  $S_1, S_2$  in  $T$  auf;    Verbinde  $S_1, S_2$  mit  $T$ -Kante des Werts  $\lambda_{s,t}$ ;    **foreach** Teilbaum  $T_i$  ausgehend von  $S$  **do**        **if** Kontraktionsknoten zu  $T_i$  in  $X$  **then**            └ Hänge  $T_i$  an  $S_1$ ;        **else** Hänge  $T_i$  an  $S_2$ ;    └ Lösche  $S$  aus  $T$ ;**return**  $(T)$ ;

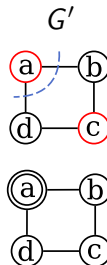
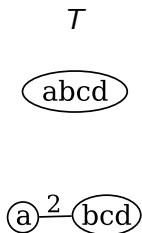
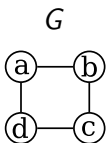
# Beispiel



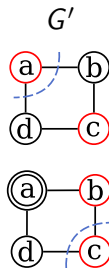
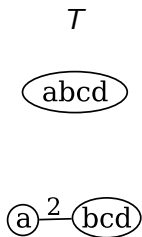
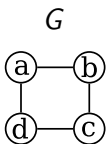
# Beispiel



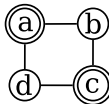
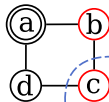
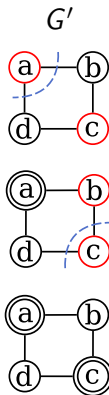
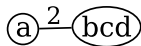
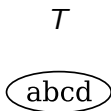
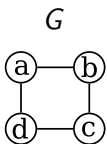
# Beispiel



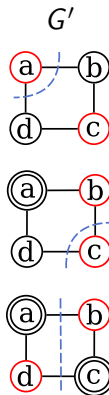
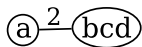
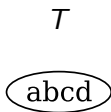
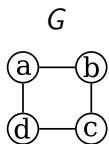
# Beispiel



# Beispiel

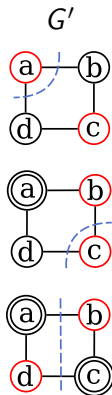
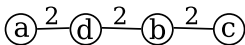
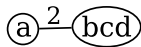
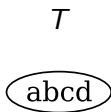
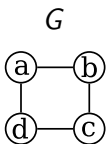


# Beispiel





# Beispiel



## Bestimmende Laufzeitfaktoren

- Gezielte Minimale  $s$ - $t$ -Schnitte werden über  $s$ - $t$ -Maximalfluss berechnet
- Beste bekannte Laufzeitschranke:  $\mathcal{O}(nm \log(n))$  (Goldberg-Rao) für  $n = |V|$  und  $m = |E|$
- Grundsätzlich  $(n - 1)$  Berechnungen notwendig
- Resultierende Laufzeitkomplexität:  $\mathcal{O}(n(nm \log(n)))$

## Bestimmende Laufzeitfaktoren

- Gezielte Minimale  $s$ - $t$ -Schnitte werden über  $s$ - $t$ -Maximalfluss berechnet
- Beste bekannte Laufzeitschranke:  $\mathcal{O}(nm \log(n))$  (Goldberg-Rao) für  $n = |V|$  und  $m = |E|$
- Grundsätzlich  $(n - 1)$  Berechnungen notwendig
- Resultierende Laufzeitkomplexität:  $\mathcal{O}(n(nm \log(n)))$

# Inhalt

- 1 Problem & Definition
- 2 Der Algorithmus von Gomory & Hu
- 3 Neue Ansätze**
  - Einsatz Maximaler Adjazenzordnungen
  - Flusskomponentenzerlegung
- 4 Ergebnisse & Zusammenfassung

# Neue Ansätze

## Ziele

- Aufwändige Maximalflussberechnungen möglichst ersetzen.
- Zahl notwendiger Maximalflussberechnungen senken.
- Verbleibende Maximalflussberechnungen vereinfachen.

# Neue Ansätze

## Ziele

- Aufwändige Maximalflussberechnungen möglichst ersetzen.
- Zahl notwendiger Maximalflussberechnungen senken.
- Verbleibende Maximalflussberechnungen vereinfachen.

# Neue Ansätze

## Ziele

- Aufwändige Maximalflussberechnungen möglichst ersetzen.
- Zahl notwendiger Maximalflussberechnungen senken.
- Verbleibende Maximalflussberechnungen vereinfachen.

# Neue Ansätze

## Ziele

- Aufwändige Maximalflussberechnungen möglichst ersetzen.
  - Maximale Adjazenzordnungen
- Zahl notwendiger Maximalflussberechnungen senken.
  - Flusskomponentenzerlegung
- Verbleibende Maximalflussberechnungen vereinfachen.
  - Flusskomponentenzerlegung



# Einsatz Maximaler Adjazenzordnungen

## Idee

Bildung Maximaler Adjazenzordnung ( $\mathcal{O}(n \log(n) + m)$ ) kann bestimmte Maximalflussberechnungen ( $\mathcal{O}(nm \log(n))$ ) ersetzen.

## Probleme

- Wenig Einfluss auf Endpunkte der berechneten maximalen Flüsse
- Häufige Wiederholung von Ergebnissen
- Leistung stark graphenabhängig
- Geschwindigkeitsvorteil in Implementierung gering

# Einsatz Maximaler Adjazenzordnungen

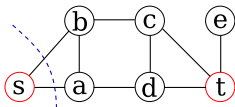
## Idee

Bildung Maximaler Adjazenzordnung ( $\mathcal{O}(n \log(n) + m)$ ) kann bestimmte Maximalflussberechnungen ( $\mathcal{O}(nm \log(n))$ ) ersetzen.

## Probleme

- Wenig Einfluss auf Endpunkte der berechneten maximalen Flüsse
- Häufige Wiederholung von Ergebnissen
- Leistung stark graphenabhängig
- Geschwindigkeitsvorteil in Implementierung gering

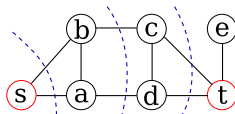
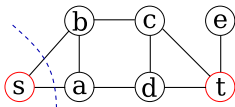
# Flusskomponentenzerlegung



## Beobachtungen

- Gomory-Hu-Algorithmus verwendet Maximalflussberechnungen um minimale  $s$ - $t$ -Schnitte zu bestimmen
- Dabei erfolgt je Flussberechnung eine Bipartition der Knotenmengen  $V$
- Aus einem maximalen  $s$ - $t$ -Fluss lassen sich jedoch sämtliche minimalen  $s$ - $t$ -Schnitte aufzählen

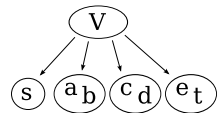
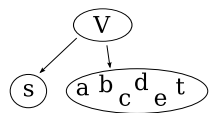
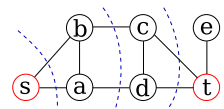
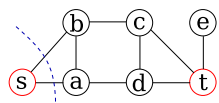
# Flusskomponentenzerlegung



## Beobachtungen

- Gomory-Hu-Algorithmus verwendet Maximalflussberechnungen um minimale  $s$ - $t$ -Schnitte zu bestimmen
- Dabei erfolgt je Flussberechnung eine Bipartition der Knotenmengen  $V$
- Aus einem maximalen  $s$ - $t$ -Fluss lassen sich jedoch sämtliche minimalen  $s$ - $t$ -Schnitte aufzählen

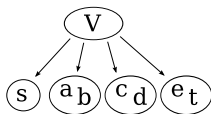
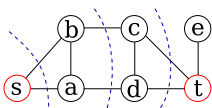
# Flusskomponentenzerlegung (2)



## Idee

- Für jeden maximalen  $s-t$ -Fluss wird eine maximale Auswahl kreuzungsfreier minimaler  $s-t$ -Schnitte getroffen.
- Deren Differenzmengen, die *Flusskomponenten*, lassen sich ähnlich den Schnittmengen des Gomory-Hu-Algorithmus verwenden.

# Flusskomponenten

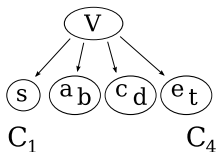
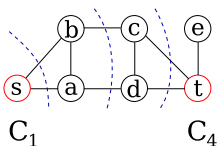


## Definition (Flusskomponente $C_i$ )

Knotenmenge  $C_i \subset V$ , die für einen maximalen  $s$ - $t$ -Fluss in  $G$

- einer  $s$ - oder  $t$ -Schnittmenge entspricht, oder
- eine nichtleere Differenzmenge zwischen den  $s$ -Schnittmengen zweier minimaler  $s$ - $t$ -Schnitte in  $G$  ist.

# Flusskomponenten

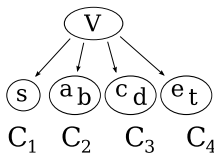
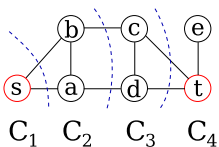


## Definition (Flusskomponente $C_i$ )

Knotenmenge  $C_i \subset V$ , die für einen maximalen  $s$ - $t$ -Fluss in  $G$

- einer  $s$ - oder  $t$ -Schnittmenge entspricht, oder
- eine nichtleere Differenzmenge zwischen den  $s$ -Schnittmengen zweier minimaler  $s$ - $t$ -Schnitte in  $G$  ist.

# Flusskomponenten



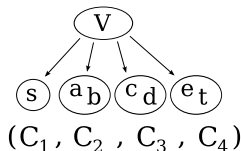
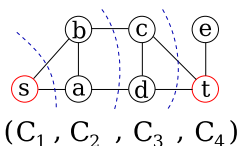
## Definition (Flusskomponente $C_i$ )

Knotenmenge  $C_i \subset V$ , die für einen maximalen  $s$ - $t$ -Fluss in  $G$

- einer  $s$ - oder  $t$ -Schnittmenge entspricht, oder
- eine nichtleere Differenzmenge zwischen den  $s$ -Schnittmengen zweier minimaler  $s$ - $t$ -Schnitte in  $G$  ist.



# Flusskomponentenfolge



## Definition (Flusskomponentenfolge $(C_1, \dots, C_k)$ )

Folge von Flusskomponenten eines maximalen  $s$ - $t$ -Flusses, mit

- $C_1$  ist minimaler  $s$ - $t$ -Schnitt mit  $s \in C_1$
- $C_k$  ist minimaler  $s$ - $t$ -Schnitt mit  $t \in C_k$
- $X_i = \sum_{j=1..i} C_j$  mit  $i < k$  ist minimaler  $s$ - $t$ -Schnitt

# Berechnung der Flusskomponenten

## Berechnung einer Flusskomponentenfolge $(C_1, \dots, C_k)$

**Input:**  $G = (V, E)$  mit  $s$ - $t$ -Maximalfluss, Residualgraph  $G_f$

$\{C_1, \dots, C_k\} \leftarrow$  Starke Zusammenhangskomponenten von  $G_f$

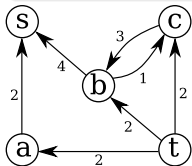
//  $G_f$ -Kanten definieren Halbordnung über  $\{C_1, \dots, C_k\}$

Vereinige  $C_1 \ni s$  mit seinen transitiven Nachfolgern;

Vereinige  $C_k \ni t$  mit seinen transitiven Vorgängern;

$(C_1, \dots, C_k) \leftarrow$  Topologische Sortierung von  $\{C_1, \dots, C_k\}$ ;

return  $(C_1, \dots, C_k)$ ;



# Berechnung der Flusskomponenten

## Berechnung einer Flusskomponentenfolge $(C_1, \dots, C_k)$

**Input:**  $G = (V, E)$  mit  $s$ - $t$ -Maximalfluss, Residualgraph  $G_f$

$\{C_1, \dots, C_k\} \leftarrow$  Starke Zusammenhangskomponenten von  $G_f$ ;

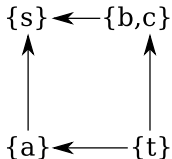
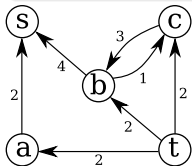
//  $G_f$ -Kanten definieren Halbordnung über  $\{C_1, \dots, C_k\}$

Vereinige  $C_1 \ni s$  mit seinen transitiven Nachfolgern;

Vereinige  $C_k \ni t$  mit seinen transitiven Vorgängern;

$(C_1, \dots, C_k) \leftarrow$  Topologische Sortierung von  $\{C_1, \dots, C_k\}$ ;

return  $(C_1, \dots, C_k)$ ;



# Berechnung der Flusskomponenten

## Berechnung einer Flusskomponentenfolge $(C_1, \dots, C_k)$

**Input:**  $G = (V, E)$  mit  $s$ - $t$ -Maximalfluss, Residualgraph  $G_f$

$\{C_1, \dots, C_k\} \leftarrow$  Starke Zusammenhangskomponenten von  $G_f$ ;

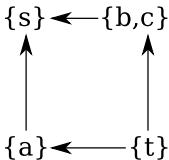
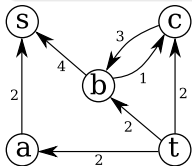
//  $G_f$ -Kanten definieren Halbordnung über  $\{C_1, \dots, C_k\}$

Vereinige  $C_1 \ni s$  mit seinen transitiven Nachfolgern;

Vereinige  $C_k \ni t$  mit seinen transitiven Vorgängern;

$(C_1, \dots, C_k) \leftarrow$  Topologische Sortierung von  $\{C_1, \dots, C_k\}$ ;

return  $(C_1, \dots, C_k)$ ;



$\{s\} \leftarrow \{a\} \leftarrow \{b, c\} \leftarrow \{t\}$

# Berechnung der Flusskomponenten

## Berechnung einer Flusskomponentenfolge $(C_1, \dots, C_k)$

**Input:**  $G = (V, E)$  mit  $s$ - $t$ -Maximalfluss, Residualgraph  $G_f$

$\{C_1, \dots, C_k\} \leftarrow$  Starke Zusammenhangskomponenten von  $G_f$ ;

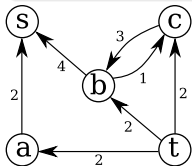
//  $G_f$ -Kanten definieren Halbordnung über  $\{C_1, \dots, C_k\}$

Vereinige  $C_1 \ni s$  mit seinen transitiven Nachfolgern;

Vereinige  $C_k \ni t$  mit seinen transitiven Vorgängern;

$(C_1, \dots, C_k) \leftarrow$  Topologische Sortierung von  $\{C_1, \dots, C_k\}$ ;

return  $(C_1, \dots, C_k)$ ;



$\{s\} \leftarrow \{b, c\}$

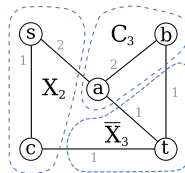
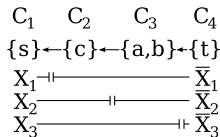
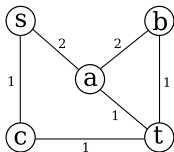
$\{a\} \leftarrow \{t\}$

$\{s\} \leftarrow \{a\} \leftarrow \{b, c\} \leftarrow \{t\}$

# Eigenschaften

## Eigenschaften von $(C_1, \dots, C_k)$

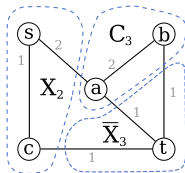
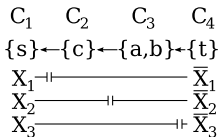
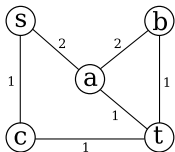
- Jede Menge  $X_i = \sum_{j=1..i} C_j$  ist ein minimaler  $s$ - $t$ -Schnitt
- $X_1, \dots, X_{k-1}$  sind kreuzungsfrei
- Für  $a, b \in C_i$  existiert ein minimaler  $a$ - $b$ -Schnitt, der  $X_{i-1}$  und  $\bar{X}_i$  nicht kreuzt.
- Für  $a \in C_i, b \in C_j$  mit  $i < j$  existiert ein minimaler  $a$ - $b$ -Schnitt  $A$  mit  $A \subseteq C_i$  oder  $A \subseteq C_j$  oder  $A = X_i$ .



# Eigenschaften

## Eigenschaften von $(C_1, \dots, C_k)$

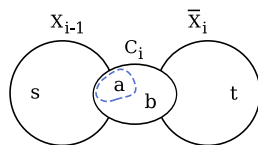
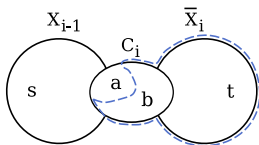
- Jede Menge  $X_i = \sum_{j=1..i} C_j$  ist ein minimaler  $s$ - $t$ -Schnitt
- $X_1, \dots, X_{k-1}$  sind kreuzungsfrei
- Für  $a, b \in C_i$  existiert ein minimaler  $a$ - $b$ -Schnitt, der  $X_{i-1}$  und  $\bar{X}_i$  nicht kreuzt.
- Für  $a \in C_i, b \in C_j$  mit  $i < j$  existiert ein minimaler  $a$ - $b$ -Schnitt  $A$  mit  $A \subseteq C_i$  oder  $A \subseteq C_j$  oder  $A = X_i$ .



# Eigenschaften

## Eigenschaften von $(C_1, \dots, C_k)$

- Jede Menge  $X_i = \sum_{j=1..i} C_j$  ist ein minimaler  $s$ - $t$ -Schnitt
- $X_1, \dots, X_{k-1}$  sind kreuzungsfrei
- Für  $a, b \in C_i$  existiert ein minimaler  $a$ - $b$ -Schnitt, der  $X_{i-1}$  und  $\bar{X}_i$  nicht kreuzt.
- Für  $a \in C_i, b \in C_j$  mit  $i < j$  existiert ein minimaler  $a$ - $b$ -Schnitt  $A$  mit  $A \subseteq C_i$  oder  $A \subseteq C_j$  oder  $A = X_i$ .

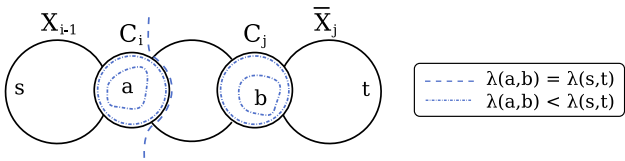




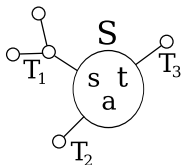
# Eigenschaften

## Eigenschaften von $(C_1, \dots, C_k)$

- Jede Menge  $X_i = \sum_{j=1..i} C_j$  ist ein minimaler  $s$ - $t$ -Schnitt
- $X_1, \dots, X_{k-1}$  sind kreuzungsfrei
- Für  $a, b \in C_i$  existiert ein minimaler  $a$ - $b$ -Schnitt, der  $X_{i-1}$  und  $\bar{X}_i$  nicht kreuzt.
- Für  $a \in C_i, b \in C_j$  mit  $i < j$  existiert ein minimaler  $a$ - $b$ -Schnitt  $A$  mit  $A \subseteq C_i$  oder  $A \subseteq C_j$  oder  $A = X_j$ .



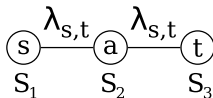
# Zerlegung von Superknoten in $T$



$$C_1 = \{s, [T_1]\}$$

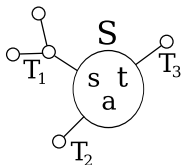
$$C_2 = \{a\}$$

$$C_3 = \{t, [T_2], [T_3]\}$$



## Flusskomponentenzerlegung

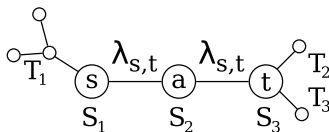
- Verwendung der Flusskomponenten analog zu den Schnittmengen des Gomory-Hu-Algorithmus
- Aufspaltung des Superknoten  $S$  in Superknotenkette  $S_1, \dots, S_k$  verbunden mit  $\lambda_{s,t}$ -wertigen Kanten
- Anhängen jedes von  $S$  abgehenden  $T$ -Teilbaums  $T_i$  an  $S_i \in \{S_1, \dots, S_k\}$  falls Kontraktionsknoten  $[T_i] \in C_i$

Zerlegung von Superknoten in  $T$ 

$$C_1 = \{s, [T_1]\}$$

$$C_2 = \{a\}$$

$$C_3 = \{t, [T_2], [T_3]\}$$



## Flusskomponentenzerlegung

- Verwendung der Flusskomponenten analog zu den Schnittmengen des Gomory-Hu-Algorithmus
- Aufspaltung des Superknoten  $S$  in Superknotenkette  $S_1, \dots, S_k$  verbunden mit  $\lambda_{s,t}$ -wertigen Kanten
- Anhängen jedes von  $S$  abgehenden  $T$ -Teilbaums  $T_i$  an  $S_i \in \{S_1, \dots, S_k\}$  falls Kontraktionsknoten  $[T_i] \in C_i$

## Wirkung: Einfachere Maximalflussberechnungen

- Schnellerer Verkleinerung der mit den Superknoten von  $T$  assoziierten Teilmengen von  $V$
- ⇒ Potentiell kleinere Kontraktionsgraphen als im Gomory-Hu-Algorithmus
- ⇒ Beschleunigung der durchzuführenden Maximalflussberechnungen ( $\mathcal{O}(nm \log(n))$ )

# Notwendigkeit der Speicherung bekannter Schnitte

## Problem

Flusskomponentenzerlegung kann für jeden Superknoten  $S$  in  $T$  einen Zustand  $|S| = 1$  (Abbruchbedingung Gomory-Hu) erreichen, bevor alle benötigten Schnitte festgestellt wurden.

# Notwendigkeit der Speicherung bekannter Schnitte

## Problem

Flusskomponentenzerlegung kann für jeden Superknoten  $S$  in  $T$  einen Zustand  $|S| = 1$  (Abbruchbedingung Gomory-Hu) erreichen, bevor alle benötigten Schnitte festgestellt wurden.

## Notwendige Schritte

- Identifikation noch ausstehender Schnittberechnungen  
⇒ Buchführung über verwendete minimale Schnitte und Schnittpartner
- Einfaches Festhalten neuer Information (ohne Möglichkeit zur Superknotenteilung)  
⇒ Relaxierung des Konzepts des Gomory-Hu-Baums

# Notwendigkeit der Speicherung bekannter Schnitte

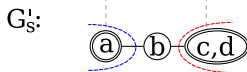
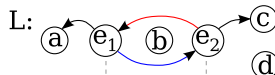
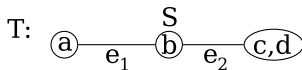
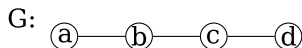
## Problem

Flusskomponentenzerlegung kann für jeden Superknoten  $S$  in  $T$  einen Zustand  $|S| = 1$  (Abbruchbedingung Gomory-Hu) erreichen, bevor alle benötigten Schnitte festgestellt wurden.

## Notwendige Schritte

- Identifikation noch ausstehender Schnittberechnungen  
⇒ Buchführung über verwendete minimale Schnitte und Schnittpartner
- Einfaches Festhalten neuer Information (ohne Möglichkeit zur Superknotenteilung)  
⇒ Relaxierung des Konzepts des Gomory-Hu-Baums

# Identifikation ausstehender Schnittberechnungen



## Blattschnittbeziehungsgraph $L$

- Speicherung der für jeden aus  $T$  bildbaren Kontraktionsgraphen bereits bekannten minimalen Schnitte
- Ermöglicht:
  - Bestimmung von Knotenpaaren mit noch nicht untersuchtem minimalen Schnitt
  - Neuformulierung der Abbruchbedingung: *Spannbaum in spezifischem Teilgraphen*



# Nebenwirkung Blattschnittbeziehungsgraph

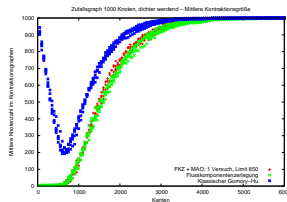
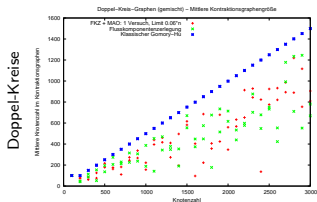
## Einsparung von Schnittberechnungen

- Auswertung der Information aus  $L$
- Günstige Kombinationen zweier Schnitte erspart dritte Schnittberechnung
- Voraussetzung: Zerlegungen mit  $\geq 3$  Komponenten
- Im Idealfall 50% Einsparungen

# Inhalt

- 1 Problem & Definition
- 2 Der Algorithmus von Gomory & Hu
- 3 Neue Ansätze
  - Einsatz Maximaler Adjazenzordnungen
  - Flusskomponentenzerlegung
- 4 Ergebnisse & Zusammenfassung

# Mittlere Kontraktionsgraphengröße

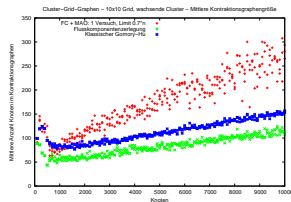
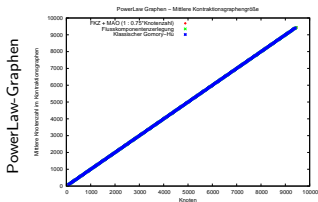


Zufallsgraph,  
sich verdichtend

## Entwicklung durchschnittlicher Kontraktionsgraphengröße

- Verhalten graphenabhängig.
- Flusskomponentenzerlegung senkt mittlere Kontraktionsgraphengröße in meisten Fällen
- Wirkunglos auf Graphklassen die zu Gomory-Hu-Bäumen mit kleinem Durchmesser (Stern) tendieren
- Einsatz Maximaler Adjazenzordnungen kann Größe steigern

# Mittlere Kontraktionsgraphengröße



PowerLaw-Graphen

ClusterGrid-Graphen

## Entwicklung durchschnittlicher Kontraktionsgraphengröße

- Verhalten graphenabhängig.
- Flusskomponentenzerlegung senkt mittlere Kontraktionsgraphengröße in meisten Fällen
- Wirkungslos auf Graphklassen die zu Gomory-Hu-Bäumen mit kleinem Durchmesser (Stern) tendieren
- Einsatz Maximaler Adjazenzordnungen kann Größe steigern

# Weitere Ergebnisse

## Schnitteinsparungen durch Flusskomponentenzerlegung

- In Experimenten gering (0 – 5%)
- Setzen Zerlegungen mit  $\geq 3$  Komponenten voraus
- Durch Wechselwirkung mit Maximalen Adjazenzordnungen gesteigert

## Beobachtungen

- Anzahl an Komponenten meist gering (selten über 3)
- Positiv wirken: (nahezu) uniforme Gewichtung, Tendenz zu Gomory-Hu-Bäumen mit großem Durchmesser (Kreise, Doppel-Kreise, Tree-Seeded-Graphen)

# Weitere Ergebnisse

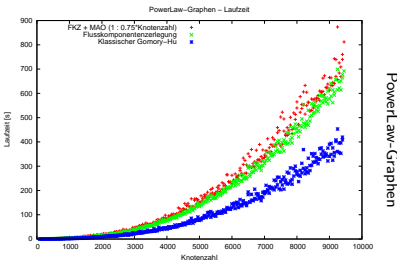
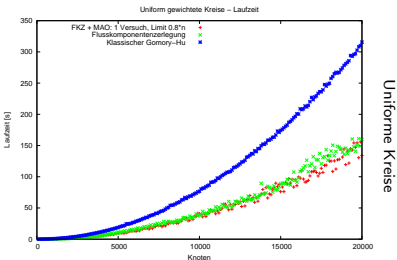
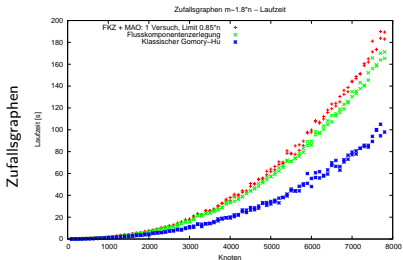
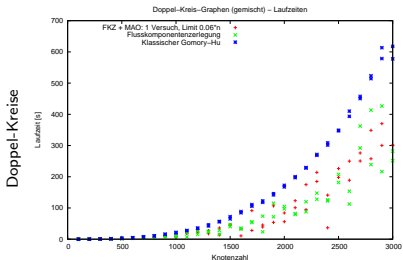
## Schnitteinsparungen durch Flusskomponentenzerlegung

- In Experimenten gering (0 – 5%)
- Setzen Zerlegungen mit  $\geq 3$  Komponenten voraus
- Durch Wechselwirkung mit Maximalen Adjazenzordnungen gesteigert

## Beobachtungen

- Anzahl an Komponenten meist gering (selten über 3)
- Positiv wirken: (nahezu) uniforme Gewichtung, Tendenz zu Gomory-Hu-Bäumen mit großem Durchmesser (Kreise, Doppel-Kreise, Tree-Seeded-Graphen)

# Laufzeitentwicklung



Uniforme Kreise

Powerlaw-Graphen

# Begründung Laufzeitentwicklung

## Feststellung

- Laufzeitvorteile ergeben sich nur auf wenigen Graphklassen
- Erfolgreiche Beeinflussung der Zielparameter schlägt sich nicht nieder

## Gründe

- Empirische Laufzeitentwicklung des Maximalflussalgorithmus oft pseudo-linear
- ⇒ Zusatzaufwand für Flusskomponentenzerlegung ist proportional zu Maximalflussaufwand
- Feststellung: viele Graphklassen streben zu Gomory-Hu-Bäumen mit kleinem Durchmesser (keine Verkleinerung der Kontraktionsgraphen)



# Begründung Laufzeitentwicklung

## Feststellung

- Laufzeitvorteile ergeben sich nur auf wenigen Graphklassen
- Erfolgreiche Beeinflussung der Zielparameter schlägt sich nicht nieder

## Gründe

- Empirische Laufzeitentwicklung des Maximalflussalgorithmus oft pseudo-linear
- ⇒ Zusatzaufwand für Flusskomponentenzerlegung ist proportional zu Maximalflussaufwand
- Feststellung: viele Graphklassen streben zu Gomory-Hu-Bäumen mit kleinem Durchmesser (keine Verkleinerung der Kontraktionsgraphen)

# Zusammenfassung

## Einsatz Maximaler Adjazenzordnungen

- Anteil nutzbarer Ergebnisse sehr klein
- Geringer realer Geschwindigkeitsvorteil

## Flusskomponentenzerlegung

- Kann durchschnittliche Kontraktionsgraphen verkleinern
- Kann Teil der Schnittberechnungen einsparen
- worst-case Laufzeitkomplexität wie Gomory-Hu-Algorithmus:  
 $\mathcal{O}(n(nm \log(n)))$
- In Experimenten Zusatzaufwand oft größer als Einsparung

Vielen Dank für ihre  
Aufmerksamkeit.

# Maximale Adjazenzordnungen

## Adjazenz

Die *Adjazenz eines Knotens  $v$  zu einer Knotenmenge  $X \subseteq V$*  ist definiert als:

$$d(X, v) = \sum_{x \in X, \{v, x\} \in E} w(\{v, x\})$$

## Definition (Maximale Adjazenzordnung)

Eine *Maximale Adjazenzordnung* für  $G = (V, E)$  mit  $V = \{v_1, \dots, v_n\}$  ist eine **Knotenordnung**  $V_n = (v_1, \dots, v_n)$  **mit gewähltem Startknoten**  $v_1 \in V$ , in der für jeden Knoten  $v_i$  mit  $i > 1$  und die Teilordnungen  $V_j = (v_1, \dots, v_j)$  mit  $j < n$  gilt:

$$v_i = \arg \max_{x \in V \setminus V_{i-1}} d(V_{i-1}, x)$$

## Bildung Maximaler Adjazenzordnungen

## Algorithmus

```
X := {v1}; /* Alternativ: X := ∅ */
while X ≠ V do
  v := arg maxx ∈ V \ X d(X, x);
  X := X ∪ {v};
  order [|X|] := v;
return(order);
```

## Implementierung

- Auswahl maximal adjazenter Knoten über Heap-Struktur
- Komplexität mit Fibonacci-Heap:  $\mathcal{O}(n \log(n) + m)$

# Ersatz von Maximalflussberechnungen

## Lemma (Stoer und Wagner, 1997)

*Ist  $V_n = (v_1, \dots, v_{n-1}, v_n)$  eine Maximale Adjazenzordnung für den Graphen  $G$ , so existiert in  $G$  ein minimaler  $v_{n-1}$ - $v_n$ -Schnitt mit den Schnittmengen  $\{v_n\}$  und  $V \setminus \{v_n\}$ .*

## Problematik

- Einflussmöglichkeit auf Knotenpaar  $v_{n-1}, v_n$  alleinig durch gewählten Startknoten
- Auch bei Verwendung sämtlicher Knoten des Graphen  $G$  als Startknoten, sind nicht mehr als 2 gefundene minimale Schnitte garantiert.
- Mögliche Neuberechnung bereits gefundener minimaler Schnitte

# Ersatz von Maximalflussberechnungen (2)

## Verwendung im Algorithmus

- Einsatz als Orakel für minimalen  $s$ - $t$ -Schnitt
- Bei nicht-verwertbarem Ergebnis:
  - Wiederholung mit anderem Startknoten, oder
  - Klassisches Verfahren mit Maximalflussalgorithmus
- Anwendung besonders zu Beginn des Algorithmus
  - Wenige bereits bekannte Schnitte, damit wenig Kollisionsmöglichkeiten.
  - Kontraktionsgraphen haben noch kaum an Größe verloren, damit potentiell größerer Einfluss der besseren worst-case Laufzeit

# Ergebnisse Maximaler Adjazenzordnungen

## Einsatzerfolg Maximaler Adjazenzordnungen

- Ergebnisse äußerst graphenabhängig
- Anzahl überhaupt auffindbarer Minimalschnitte abhängig von Anteil der Knoten mit Minimalgrad
- Schwierige Dosierung
- Schnelle Wiederholung von Ergebnissen
- Meist geringer Laufzeitunterschied zu Flussberechnung für selbes Knotenpaar (oft isolierte Knoten)
- Wechselwirkungen mit Flusskomponentenzerlegung

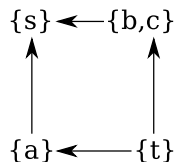
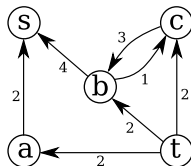
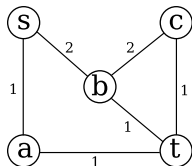


## Lemma (Picard-Queyranne, 1980)

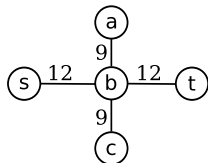
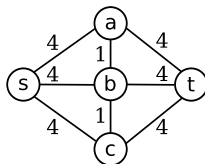
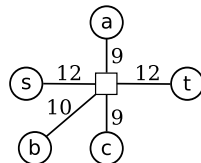
Ist  $G_f = (V, A)$  Residualgraph zu maximalem  $s$ - $t$ -Fluss in  $G$  und sei  $R$  Relation mit

$$iRj \Leftrightarrow (i, j) \in A$$

Dann ist ein Schnitt  $(X, \bar{X})$  genau dann minimal, wenn  $X$  eine transitive Hülle von  $R$  ist und  $s \in X, t \notin X$  gilt.



## Relaxierung Gomory-Hu-Baum

 $T$  vorherGraph  $G$  $T$  mit  $b$ - $t$ -MinCut

## Relaxierung Gomory-Hu-Baum

- Erweiterung der Knotenmenge um *Leere Knoten* mit leerer assoziierter Knotenmenge
- Ermöglicht lokale Umstrukturierung von  $T$  um:
  - Neue Schnittinformation aufzunehmen
  - ohne bestehende Schnittinformation zu verfälschen
- Umformung in Gomory-Hu-Baum in  $\mathcal{O}(n^2)$  möglich

